

# ПРОВОДИМОСТЬ ДВУМЕРНОЙ МОДЕЛИ РЭЛЕЯ ПРИ КРИТИЧЕСКОЙ КОНЦЕНТРАЦИИ — ПОРОГЕ ПРОТЕКАНИЯ

Б. Я. Балагуров<sup>\*</sup>

Институт биохимической физики им. Н. М. Эмануэля Российской академии наук  
119334, Москва, Россия

Поступила в редакцию 7 ноября 2020 г.,  
после переработки 14 ноября 2020 г.  
Принята к публикации 14 ноября 2020 г.

Рассмотрена проводимость двумерной модели Рэлея (изотропной матрицы с периодическим расположением круговых включений) при критической концентрации — пороге протекания. В рамках бинарного приближения вычислена эффективная проводимость модели с фазовым переходом металл–идеальный проводник. Для альтернативной модели с фазовым переходом металл–диэлектрик соответствующая эффективная проводимость определена соотношением взаимности Келлера–Дыхне.

DOI: 10.31857/S0044451021030160

## 1. ВВЕДЕНИЕ

Двумерная модель композита с регулярным расположением включений круговой формы впервые рассмотрена Рэлеем в работе [1]. Для эффективной проводимости  $\sigma_e$  этой модели в [1] были вычислены первые члены разложения соответствующего виримального ряда по степеням малой концентрации включений. Впоследствии решение, позволяющее найти произвольный член этого ряда, было дано разными методами в работах [2, 3] (см. также [4]). Согласно [2, 3] для вычисления проводимости двумерной модели Рэлея необходимо разрешить бесконечную систему алгебраических уравнений. Как показал численный анализ [3], для определения величины  $\sigma_e$  в достаточно широком диапазоне изменения входящих в задачу параметров достаточно ограничиться рассмотрением конечной подсистемы уравнений небольшого размера. В то же время для модели с фазовым переходом этот размер может быть неограниченно большим. Это обстоятельство серьезно затрудняет исследование обсуждаемой задачи численным методом.

В предыдущей работе [5] обсуждаемая задача о проводимости двумерной модели Рэлея с фазовым переходом типа металл–идеальный проводник рассмотрена аналитическим методом в рамках бинар-

ного приближения. В этом приближении исходная проблема сводится к изучению протекания тока через пару соседних круговых включений. При этом потенциал задачи выражается через электростатическую функцию Грина для «тела», состоящего из двух кругов. Для вычисления функции Грина в [5] определена система собственных функций (см. [6, 7]) для упомянутого «тела». Использование полученного таким образом потенциала позволило определить эффективную проводимость рассматриваемой модели. Следует отметить, что использованное в работе [5] бинарное приближение тем точнее описывает проводимость рассмотренной двумерной модели, чем ближе она к точке фазового перехода.

В настоящей работе рассмотрена задача о проводимости двумерной модели Рэлея при критической концентрации (пороге протекания), когда происходит соприкосновение соседних кругов. В том же бинарном приближении потенциал выражен через функцию Грина, а та, в свою очередь, — через систему собственных функций для пары соприкасающихся включений. Спецификой этого случая является непрерывность спектра собственных значений и дельта-функциональный вид соотношения ортонормированности для поляризационных собственных функций. С помощью найденного потенциала вычислена эффективная проводимость модели в точке фазового перехода типа металл–идеальный проводник. Для альтернативной модели с фазовым переходом типа металл–диэлектрик соответствующая эффективная проводимость определена из со-

\* E-mail: balagurov@deom.chph.ras.ru, byabalagurov@mail.ru

отношения взаимности Келлера – Дыхне [8, 9]. Сравнение полученного результата с гипотезой подобия [10, 11] позволяет определить соответствующий критический индекс проводимости.

Знание системы собственных функций для какого-либо макроскопического тела позволяет не только находить соответствующую электростатическую функцию Грина, но и давать решение, например, краевых задач Дирихле и Неймана, а также вычислять поляризумость этого тела. В качестве примера в Приложении найден тензор дипольной поляризумости двух соприкасающихся кругов (параллельных круговых цилиндров для трехмерной задачи).

## 2. БИНАРНОЕ ПРИБЛИЖЕНИЕ

Двумерная модель Рэлея представляет собой изотропную матрицу проводимости  $\sigma_1$  с системой включений круговой формы радиуса  $R$  и проводимости  $\sigma_2$ . Центры кругов расположены в узлах квадратной решетки с периодом  $2a$ . При критической концентрации  $a = R$  — пороге протекания — каждое из включений касается четырех ближайших соседей. При  $\sigma_2 \gg \sigma_1$  в подобном двумерном композите происходит фазовый переход типа металл–идеальный проводник. В этом случае проводимость модели в целом определяется областью контакта соседних включений, где ток должен преодолевать низко проводящую прослойку. Следует ожидать при этом, что ток протекает через эту прослойку в виде узкого канала возле точки соприкосновения включений. Для оценки вклада области контакта в эффективную проводимость воспользуемся, как и в [5], бинарным приближением — рассмотрим пару соседних кругов (см. рис. 1), помещенную в неограниченного размера матрицу. Входящий в эту пару и исходящий из нее токи, расположенные «вдали» от области контакта, представим в виде точечных источника и стока.

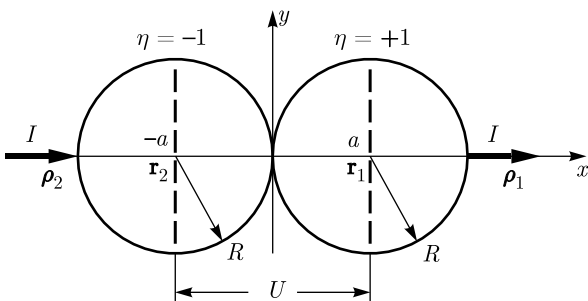


Рис. 1

В данном случае уравнение сохранения тока принимает вид

$$\operatorname{div} \mathbf{j} = I \{ \delta(\mathbf{r} - \boldsymbol{\rho}_2) - \delta(\mathbf{r} - \boldsymbol{\rho}_1) \}. \quad (1)$$

Здесь  $\mathbf{j}$  — плотность тока

$$\mathbf{j} = -\sigma(\mathbf{r}) \nabla \varphi(\mathbf{r}), \quad (2)$$

$\sigma(\mathbf{r})$  — проводимость среды,  $\varphi(\mathbf{r})$  — электрический потенциал. Положим

$$\sigma(\mathbf{r}) = \sigma_1 [1 - (1 - h)v(\mathbf{r})], \quad h = \sigma_2/\sigma_1, \quad (3)$$

где  $v(\mathbf{r}) = 1$  внутри включения и  $v(\mathbf{r}) = 0$  вне его. В этом случае уравнение для потенциала принимает вид

$$\begin{aligned} \nabla \{ [1 - (1 - h)v(\mathbf{r})] \nabla \varphi(\mathbf{r}) \} = \\ = \frac{I}{\sigma_1} \{ \delta(\mathbf{r} - \boldsymbol{\rho}_1) - \delta(\mathbf{r} - \boldsymbol{\rho}_2) \}. \end{aligned} \quad (4)$$

Введем, следуя ссылкам [6, 7], функцию Грина  $G(\mathbf{r}, \mathbf{r}')$ , подчиняющуюся уравнению

$$\nabla_{\mathbf{r}} \{ [1 - (1 - h)v(\mathbf{r})] \nabla_{\mathbf{r}} G(\mathbf{r}, \mathbf{r}') \} = \delta(\mathbf{r} - \mathbf{r}'). \quad (5)$$

С учетом формулы (5) для потенциала  $\varphi(\mathbf{r})$  из уравнения (4) получаем следующее выражение:

$$\varphi(\mathbf{r}) = \frac{I}{\sigma_1} \{ G(\mathbf{r}, \boldsymbol{\rho}_1) - G(\mathbf{r}, \boldsymbol{\rho}_2) \}. \quad (6)$$

Величина  $G(\mathbf{r}, \mathbf{r}')$ , подчиняющаяся уравнению (5), определена в [6, 7] с помощью метода собственных функций. Для функции Грина  $G(\mathbf{r}, \boldsymbol{\rho})$ , где  $\boldsymbol{\rho}$  принадлежит поверхности тела, имеет место следующее выражение согласно [6, 7]:

$$\begin{aligned} G(\mathbf{r}, \boldsymbol{\rho}) = - \sum_{\nu} \frac{1 + \varepsilon_{\nu}}{h + \varepsilon_{\nu}} \Psi_{\nu}(\boldsymbol{\rho}) \psi_{\nu}(\mathbf{r}) - \\ - \sum_k \bar{\Psi}_k(\boldsymbol{\rho}) \bar{\psi}_k(\mathbf{r}). \end{aligned} \quad (7)$$

Здесь вектор  $\mathbf{r}$  произволен и может принадлежать как телу, так и пространству вне его.

В выражении (7)  $\psi_{\nu}(\mathbf{r})$  и  $\bar{\psi}_k(\mathbf{r})$  — регулярные и обращающиеся в нуль при  $r \rightarrow \infty$  собственные функции, а  $\Psi_{\nu}(\boldsymbol{\rho})$  и  $\bar{\Psi}_k(\boldsymbol{\rho})$  — их значения на поверхности тела при  $\mathbf{r} = \boldsymbol{\rho}$ . Поляризационные функции  $\psi_{\nu}(\mathbf{r})$ , обладающие мультипольной асимптотикой, удовлетворяют уравнению Лапласа внутри ( $i$ ) и вне ( $e$ ) тела:

$$\nabla^2 \psi_{\nu}^{(i)}(\mathbf{r}) = 0, \quad \nabla^2 \psi_{\nu}^{(e)}(\mathbf{r}) = 0. \quad (8)$$

На поверхности  $S$  тела (при  $\mathbf{r} = \rho$ ) для функции  $\psi_\nu(\mathbf{r})$  имеем следующие граничные условия:

$$\psi_\nu^{(e)}|_S = \psi_\nu^{(i)}|_S, \quad \frac{\partial \psi_\nu^{(e)}}{\partial n} = -\varepsilon_\nu \frac{\partial \psi_\nu^{(i)}}{\partial n}. \quad (9)$$

Здесь  $\partial/\partial n$  — нормальная производная,  $\varepsilon_\nu > 0$  — собственное значение для поляризационного состояния. Система  $\{\psi_\nu(\mathbf{r})\}$  ортонормирована по соотношению

$$\int (\nabla \psi_\mu(\mathbf{r}) \cdot \nabla \psi_\nu(\mathbf{r})) d\mathbf{r} = \delta_{\mu\nu}, \quad (10)$$

где интегрирование распространяется на все пространство, или

$$\int (\nabla \psi_\mu(\mathbf{r}) \cdot \nabla \psi_\nu(\mathbf{r})) [1 - v(\mathbf{r})] d\mathbf{r} = \frac{\varepsilon_\nu}{1 + \varepsilon_\nu} \delta_{\mu\nu}. \quad (11)$$

Здесь интеграл берется по области вне тела.

Функции зарядовых состояний  $\bar{\psi}_k(\mathbf{r})$  вне тела также подчиняются уравнению Лапласа и обладают монопольной асимптотикой. Им отвечает одно и то же собственное значение  $\bar{\varepsilon}_k = \infty$ . Для монолитного (неразъемного) тела зарядовая функция  $\bar{\psi}(\mathbf{r})$  одна. На поверхности тела она принимает постоянное значение

$$\bar{\psi}^{(e)}(\mathbf{r})|_S = \bar{\Psi} = \text{const.} \quad (12)$$

В то же время  $\bar{\psi}^{(i)}(\mathbf{r}) = \bar{\Psi}$  в любой точке внутри тела.

Разъемному «телу», состоящему из  $n$  частей, отвечает  $n$  зарядовых функций  $\bar{\psi}_k(\mathbf{r})$ , где  $k = 1, 2, \dots, n$ . Каждая из них принимает постоянные (вообще говоря, разные) значения на поверхностях частей этого тела.

Функции  $\bar{\psi}_k(\mathbf{r})$  ортонормированы согласно

$$\int (\nabla \bar{\psi}_k(\mathbf{r}) \cdot \nabla \bar{\psi}_{k'}(\mathbf{r})) [1 - v(\mathbf{r})] d\mathbf{r} = \delta_{kk'}. \quad (13)$$

Подсистемы поляризационных  $\{\psi_\nu(\mathbf{r})\}$  и зарядовых  $\{\bar{\psi}_k(\mathbf{r})\}$  функций взаимно ортогональны:

$$\int (\nabla \psi_\nu(\mathbf{r}) \cdot \nabla \bar{\psi}_k(\mathbf{r})) [1 - v(\mathbf{r})] d\mathbf{r} = 0. \quad (14)$$

Таким образом, совокупность  $\{\psi_\nu(\mathbf{r}), \bar{\psi}_k(\mathbf{r})\}$  представляет собой ортонормированную систему функций. Заметим, однако, что эта совокупность полной системой не является (см. [6, 7]). Отметим также, что в рассматриваемой в работе двумерной задаче функции с монопольной асимптотикой логарифмически расходятся при  $r \rightarrow \infty$ . В этом случае на зарядовые функции накладывается условие  $\bar{\psi}_k(\mathbf{r}) = 0$  на окружности достаточно большого радиуса. Как будет видно ниже, для соприкасающихся

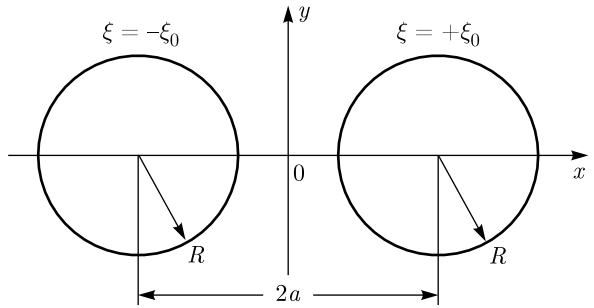


Рис. 2

кругов собственные значения образуют непрерывный спектр, а соотношение ортонормированности для поляризационных собственных функций имеет дельта-функциональный вид. В этом случае сумму в формуле (7) следует заменить на соответствующий интеграл.

### 3. КООРДИНАТНАЯ СИСТЕМА

Задачу определения собственных функций для «тела» в виде соприкасающихся кругов будем решать в биполярной системе координат, соответствующим образом преобразованной. Согласно [12] биполярные координаты  $(\xi, \theta)$  связаны с декартовыми  $(x, y)$  с помощью соотношения

$$x + iy = c \operatorname{th} \frac{\xi + i\theta}{2}, \quad (15)$$

здесь  $-\infty \leq \xi \leq +\infty$ ,  $0 \leq \theta \leq 2\pi$ . Из (15) следует, что

$$\xi = \frac{1}{2} \ln \frac{(x+c)^2 + y^2}{(x-c)^2 + y^2}, \quad \operatorname{tg} \theta = \frac{2cy}{c^2 - x^2 - y^2} \quad (16)$$

и

$$\theta = \pi - \operatorname{arctg} \frac{2cy}{r^2 - c^2} \quad (17)$$

при  $r = \sqrt{x^2 + y^2} > c$ . В ситуации, изображенной на рис. 2, имеем

$$c = \sqrt{a^2 - R^2}, \quad \xi_0 = \ln \frac{a + \sqrt{a^2 - R^2}}{R}. \quad (18)$$

При  $a \rightarrow R$  ( $c \rightarrow 0$ ) из (16) и (17) следует

$$\xi \approx \frac{2cx}{x^2 + y^2}, \quad \theta \approx \pi - \frac{2cy}{x^2 + y^2} \quad (19)$$

и

$$\xi_0 \approx c/R. \quad (20)$$

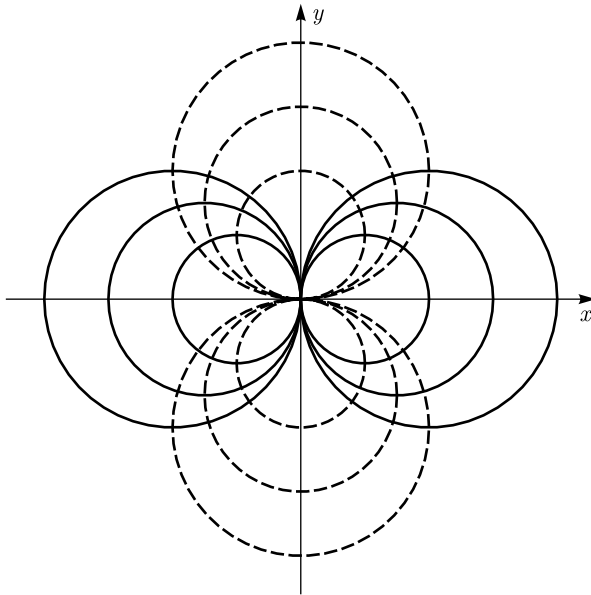


Рис. 3

(Здесь и далее символом  $\approx$  обозначается асимптотическое выражение.)

Положим

$$\xi = \xi_0 \eta, \quad \theta = \pi + \xi_0 \beta, \quad (21)$$

тогда из (15) получаем

$$x + iy = c \operatorname{cth} \frac{\xi_0 (\eta + i\beta)}{2}. \quad (22)$$

Отсюда в пределе  $c \rightarrow 0$  находим

$$x + iy = \frac{2R}{\eta + i\beta}, \quad (23)$$

так что

$$x = 2R \frac{\eta}{\eta^2 + \beta^2}, \quad y = -2R \frac{\beta}{\eta^2 + \beta^2} \quad (24)$$

и, соответственно,

$$\eta = 2R \frac{x}{x^2 + y^2}, \quad \beta = -2R \frac{y}{x^2 + y^2}. \quad (25)$$

Введенные в (23)–(25) величины  $\eta$  и  $\beta$  являются координатами вырожденной биполярной системы.

Координаты  $\eta$  и  $\beta$  изменяются в пределах от  $-\infty$  до  $+\infty$ . При этом  $\eta \rightarrow 0, \beta \rightarrow 0$  при  $x \rightarrow \infty$  и  $\eta \rightarrow \pm\infty, \beta \rightarrow \pm\infty$  при  $x \rightarrow 0$ . Значениям  $\eta > 0$  отвечает правая полуплоскость  $x > 0$ , а  $\eta < 0$  — левая ( $x < 0$ ). В то же время значению  $\beta > 0$  соответствует нижняя полуплоскость ( $y < 0$ ), а  $\beta < 0$  — верхняя ( $y > 0$ ).

Координатные линии вырожденной биполярной системы представляют собой два набора взаимно ортогональных окружностей, соприкасающихся в точке  $x = 0, y = 0$  (см. рис. 3). Действительно, исключая из равенств (24) величину  $\beta$  при  $\eta = \text{const}$ , получим уравнение

$$\left( x - \frac{R}{\eta} \right)^2 + y^2 = \left( \frac{R}{\eta} \right)^2. \quad (26)$$

Согласно (26) постоянным значениям  $\eta = \pm\eta_0$  отвечает пара соприкасающихся окружностей радиуса  $R/\eta_0$  с центрами в точках  $\pm R/\eta_0$  на оси  $x$ . Аналогичным образом постоянным  $\beta = \pm\beta_0$  отвечает пара соприкасающихся окружностей радиуса  $R/\beta_0$  с центрами в точках  $\pm R/\beta_0$  на оси  $y$ .

В вырожденной системе биполярных координат для градиента потенциала  $\varphi$  имеем следующее выражение:

$$\nabla \varphi = \frac{\mathbf{e}_\eta}{H_\eta} \frac{\partial \varphi}{\partial \eta} + \frac{\mathbf{e}_\beta}{H_\beta} \frac{\partial \varphi}{\partial \beta}, \quad (27)$$

где

$$H_\eta = H_\beta = H(\eta, \beta) = \frac{2a}{\eta^2 + \beta^2} \quad (28)$$

— коэффициент Ламе. В (27)  $\mathbf{e}_\eta$  и  $\mathbf{e}_\beta$  — орты нормалей к координатным линиям  $\eta = \text{const}$  и  $\beta = \text{const}$ :

$$\mathbf{e}_\eta = -\mathbf{i}_x \frac{\eta^2 - \beta^2}{\eta^2 + \beta^2} + \mathbf{i}_y \frac{2\eta\beta}{\eta^2 + \beta^2}, \quad (29)$$

$$\mathbf{e}_\beta = -\mathbf{i}_x \frac{2\eta\beta}{\eta^2 + \beta^2} - \mathbf{i}_y \frac{\eta^2 - \beta^2}{\eta^2 + \beta^2}. \quad (30)$$

Здесь  $\mathbf{i}_x$  и  $\mathbf{i}_y$  — орты декартовых осей  $x$  и  $y$  соответственно. Отметим, что  $\mathbf{e}_\eta$  является единичным вектором внутренней к границе правого круга нормали и внешней — к границе левого.

Уравнение Лапласа в координатах  $(\eta, \beta)$  принимает вид

$$\frac{\partial^2 \varphi}{\partial \eta^2} + \frac{\partial^2 \varphi}{\partial \beta^2} = 0. \quad (31)$$

В данном случае при решении этого уравнения методом разделения переменных отсутствует, в отличие от работы [5], требование периодичности по одной из координат. Поэтому соответствующая константа разделения принимает произвольные значения, образуя непрерывный спектр.

Регулярные частные решения уравнения (31) для правого включения, конечные при  $x \rightarrow +0$  ( $\eta \rightarrow -\infty$ ), имеют следующий вид:

$$e^{-\nu\eta} \sin \nu\beta, \quad e^{-\nu\eta} \cos \nu\beta. \quad (32)$$

Здесь величина  $\nu$  положительна и меняется в пределах от 0 до  $\infty$ . Для левого включения аналогичные решения отличаются от (32) заменой  $e^{-\nu\eta}$  на  $e^{\nu\eta}$ .

Для исчезающих при  $r \rightarrow \infty$  ( $\eta \rightarrow 0$ ,  $\beta \rightarrow 0$ ) регулярных решений с мультипольной асимптотикой имеем соответственно

$$\begin{aligned} \operatorname{sh} \nu\eta \sin \nu\beta, & \quad \operatorname{sh} \nu\eta \cos \nu\beta, \\ \operatorname{ch} \nu\eta \sin \nu\beta, & \quad \operatorname{ch} \nu\eta \cos \nu\beta - 1 \end{aligned} \quad (33)$$

с тем же параметром  $\nu$ .

Отметим, наконец, что решением уравнения (31) с монопольной (логарифмической) асимптотикой является функция

$$\ln(\eta^2 + \beta^2), \quad (34)$$

или  $2 \ln(2R/r)$ , где  $r = \sqrt{x^2 + y^2}$ , в декартовых координатах.

#### 4. СИСТЕМА СОБСТВЕННЫХ ФУНКЦИЙ

С рассматриваемым включением в виде пары соприкасающихся кругов связаны четыре типа поляризационных собственных функций  $\psi_{\lambda\nu}(\mathbf{r}) = \psi_{\lambda\nu}(\eta, \beta)$  ( $\lambda = 1, 2, 3, 4$ ), которым отвечают двукратно вырожденные собственные значения  $\varepsilon_{1\nu} = \varepsilon_{3\nu}$  и  $\varepsilon_{2\nu} = \varepsilon_{4\nu}$ .

Нормированные функции первого типа  $\psi_{1\nu}(\mathbf{r})$  с собственными значениями

$$\varepsilon_{1\nu} = \operatorname{th} \nu \quad (35)$$

имеют вид

$$\psi_{1\nu}^{(e)}(\mathbf{r}) = A_\nu \operatorname{ch} \nu\eta \sin \nu\beta, \quad |\eta| \leq 1, \quad (36)$$

вне включения и

$$\psi_{1\nu}^{(1)}(\mathbf{r}) = A_\nu \operatorname{ch} \nu e^{-\nu\eta} \sin \nu\beta, \quad \eta \geq 1, \quad (37)$$

$$\psi_{1\nu}^{(2)}(\mathbf{r}) = A_\nu \operatorname{ch} \nu e^{\nu\eta} \sin \nu\beta, \quad \eta \leq -1, \quad (38)$$

внутри правого (1) и левого (2) кругов соответственно. Здесь

$$A_\nu = \sqrt{\frac{1 - \varepsilon_{1\nu}}{2\pi\nu}} = \sqrt{\frac{1}{2\pi\nu} \frac{e^{-\nu}}{\operatorname{ch} \nu}}. \quad (39)$$

Функции  $\psi_{1\nu}(\mathbf{r})$  симметричны по координате  $x$  и антисимметричны по  $y$ .

Функции второго типа  $\psi_{2\nu}(\mathbf{r})$ , которым отвечают собственные значения

$$\varepsilon_{2\nu} = \operatorname{cth} \nu, \quad (40)$$

антисимметричны по  $x$  и симметричны по  $y$ :

$$\psi_{2\nu}^{(e)}(\mathbf{r}) = B_\nu \operatorname{sh} \nu\eta \cos \nu\beta, \quad |\eta| \leq 1, \quad (41)$$

$$\psi_{2\nu}^{(1)}(\mathbf{r}) = B_\nu \operatorname{sh} \nu e^{-\nu(\eta-1)} \cos \nu\beta, \quad \eta \geq 1, \quad (42)$$

$$\psi_{2\nu}^{(2)}(\mathbf{r}) = -B_\nu \operatorname{sh} \nu e^{\nu(\eta+1)} \cos \nu\beta, \quad \eta \leq -1, \quad (43)$$

где

$$B_\nu = \sqrt{\frac{\varepsilon_{2\nu} - 1}{2\pi\nu}} = \sqrt{\frac{1}{2\pi\nu} \frac{e^{-\nu}}{\operatorname{sh} \nu}}. \quad (44)$$

Функции третьего типа  $\psi_{3\nu}(\mathbf{r})$  с собственными значениями  $\varepsilon_{3\nu} = \varepsilon_{1\nu} = \operatorname{th} \nu$  симметричны и по  $x$ , и по  $y$ :

$$\psi_{3\nu}^{(e)}(\mathbf{r}) = A_\nu (\operatorname{ch} \nu\eta \cos \nu\beta - 1), \quad |\eta| \leq 1, \quad (45)$$

$$\psi_{3\nu}^{(1)}(\mathbf{r}) = A_\nu [\operatorname{ch} \nu e^{-\nu(\eta-1)} \cos \nu\beta - 1], \quad \eta \geq 1, \quad (46)$$

$$\psi_{3\nu}^{(2)}(\mathbf{r}) = A_\nu [\operatorname{ch} \nu e^{\nu(\eta+1)} \cos \nu\beta - 1], \quad \eta \leq -1. \quad (47)$$

Нормировочный коэффициент  $A_\nu$  определен в формуле (39).

Функции четвертого типа с собственными значениями  $\varepsilon_{4\nu} = \varepsilon_{2\nu} = \operatorname{cth} \nu$  антисимметричны и по  $x$ , и по  $y$ :

$$\psi_{4\nu}^{(e)}(\mathbf{r}) = B_\nu \operatorname{sh} \nu\eta \sin \nu\beta, \quad |\eta| \leq 1, \quad (48)$$

$$\psi_{4\nu}^{(1)}(\mathbf{r}) = B_\nu \operatorname{sh} \nu e^{-\nu(\eta-1)} \sin \nu\beta, \quad \eta \geq 1, \quad (49)$$

$$\psi_{4\nu}^{(2)}(\mathbf{r}) = -B_\nu \operatorname{sh} \nu e^{\nu(\eta+1)} \sin \nu\beta, \quad \eta \leq -1. \quad (50)$$

Коэффициент  $B_\nu$  определен в формуле (44).

Зарядовая собственная функция одна:

$$\bar{\psi}^{(e)}(\mathbf{r}) = \bar{A} \left\{ 2 \ln \frac{L}{2a} + \ln(\eta^2 + \beta^2) + \right. \\ \left. + 2 \int_0^\infty e^{-\nu} \frac{\operatorname{ch} \nu\eta \cos \nu\beta - 1}{\operatorname{ch} \nu} \frac{d\nu}{\nu} \right\}, \quad (51)$$

где

$$\bar{A} = \frac{1}{2\sqrt{2\pi}} \left[ \ln \frac{L}{2a} + I \right]^{-1/2}, \quad (52)$$

$$J = \int_0^\infty e^{-\nu} \frac{\operatorname{ch} \nu - 1}{\operatorname{ch} \nu} \frac{d\nu}{\nu}. \quad (53)$$

Выражение (51) принимает постоянное значение при  $\eta = \pm 1$ , в чем можно убедиться, используя соотношение

$$\ln \frac{\eta^2 + \beta^2}{\eta^2} = 2 \int_0^\infty e^{-\nu|\eta|} (1 - \cos \nu\beta) \frac{d\nu}{\nu} \quad (54)$$

при  $\eta = \pm 1$ . Функция  $\bar{\psi}(\mathbf{r})$  обращается в нуль при  $r = L$ , где  $L \gg R$ . Действительно, в случае больших  $r$  имеем

$$r \gg R : \quad \bar{\psi}^{(e)}(\mathbf{r}) \approx 2 \bar{q} \ln \frac{L}{r}. \quad (55)$$

Здесь

$$\bar{q} = \bar{A} \quad (56)$$

— полный заряд рассматриваемого включения.

## 5. ПОВЕРХНОСТНЫЕ СОБСТВЕННЫЕ ФУНКЦИИ

1. Как отмечено в работах [6, 7], собственные функции образуют полную систему на поверхности  $S$  соответствующего тела. Для формулировки соотношения полноты наряду с поверхностным значением функций (аналогами потенциалов)

$$\Psi_\nu(\boldsymbol{\rho}) = \psi_\nu^{(e)}(\mathbf{r}) \Big|_{\mathbf{r}=\boldsymbol{\rho}}, \quad \bar{\Psi}_k(\boldsymbol{\rho}) = \bar{\psi}_k^{(e)}(\mathbf{r}) \Big|_{\mathbf{r}=\boldsymbol{\rho}} \quad (57)$$

необходимо ввести сопряженные с ними величины

$$\begin{aligned} \Phi_\nu(\boldsymbol{\rho}) &= (\mathbf{n} \nabla \psi_\nu^{(e)}(\mathbf{r})) \Big|_{\mathbf{r}=\boldsymbol{\rho}}, \\ \bar{\Phi}_k(\boldsymbol{\rho}) &= (\mathbf{n} \nabla \bar{\psi}_k^{(e)}(\mathbf{r})) \Big|_{\mathbf{r}=\boldsymbol{\rho}}, \end{aligned} \quad (58)$$

имеющие смысл плотности поверхного заряда. В формуле (58)  $\mathbf{n}$  — орт внешней к поверхности тела нормали.

Введение системы поверхностных функций позволяет, прежде всего, упростить соотношения ортонормированности:

$$\int_S \Psi_\nu(\boldsymbol{\rho}) \Phi_{\nu'}(\boldsymbol{\rho}) d\boldsymbol{\rho} = -\frac{\varepsilon_\nu}{1 + \varepsilon_\nu} \delta_{\nu\nu'}, \quad (59)$$

$$\int_S \Psi_\nu(\boldsymbol{\rho}) \bar{\Phi}_k(\boldsymbol{\rho}) d\boldsymbol{\rho} = 0, \quad (60)$$

$$\int_S \bar{\Psi}_k(\boldsymbol{\rho}) \Phi_\nu(\boldsymbol{\rho}) d\boldsymbol{\rho} = 0, \quad (61)$$

$$\int_S \bar{\Psi}_k(\boldsymbol{\rho}) \bar{\Phi}_{k'}(\boldsymbol{\rho}) d\boldsymbol{\rho} = -\delta_{kk'}. \quad (62)$$

Здесь  $d\boldsymbol{\rho} = dS$  — элемент площади, а интегрирование в (59)–(62) проводится по всей поверхности  $S$  тела.

Соотношение полноты для системы поверхностных функций имеет вид

$$\sum_\nu \frac{1 + \varepsilon_\nu}{\varepsilon_\nu} \Psi_\nu(\boldsymbol{\rho}) \Phi_\nu(\boldsymbol{\rho}') + \sum_k \bar{\Phi}_k(\boldsymbol{\rho}) \bar{\Phi}_k(\boldsymbol{\rho}') = -\delta(\boldsymbol{\rho} - \boldsymbol{\rho}'). \quad (63)$$

Отметим, что в случае непрерывного спектра собственных значений  $\varepsilon_\nu$  в правой части равенства (59) символ Кронекера  $\delta_{\nu\nu'}$  заменяется на дельта-функцию  $\delta(\nu - \nu')$ , а сумма по  $\nu$  в соотношении (63) — на соответствующий интеграл.

2. Для рассматриваемого в работе включения поляризационные поверхностные функции выражаются через  $\psi_{\lambda\nu}^{(e)}(\eta, \beta)$  следующим образом:

$$\Psi_{\lambda\nu}^{(1)}(\beta) = \psi_{\lambda\nu}^{(e)}(+1, \beta), \quad \Psi_{\lambda\nu}^{(2)}(\beta) = \psi_{\lambda\nu}^{(e)}(-1, \beta), \quad (64)$$

$$\begin{aligned} \Phi_{\lambda\nu}^{(1)}(\beta) &= -\frac{1}{H_0} \left. \frac{\partial \psi_{\lambda\nu}^{(e)}}{\partial \eta} \right|_{\eta=+1}, \\ \Phi_{\lambda\nu}^{(2)}(\beta) &= \frac{1}{H_0} \left. \frac{\partial \psi_{\lambda\nu}^{(e)}}{\partial \eta} \right|_{\eta=-1}, \end{aligned} \quad (65)$$

где  $H_0 = H(1, \beta)$  — коэффициент Ламе. Выбор знаков в (65) обусловлен тем, что единичный вектор  $\mathbf{e}_\eta$  является ортом внутренней нормали для правой окружности и внешней для левой. Зарядовые поверхностные функции  $\bar{\Psi}^{(1)}(\beta)$ ,  $\bar{\Psi}^{(2)}(\beta)$ ,  $\bar{\Phi}^{(1)}(\beta)$  и  $\bar{\Phi}^{(2)}(\beta)$  выражаются через  $\bar{\psi}^{(e)}(\eta, \beta)$  аналогичным образом.

Используя приведенные в предыдущем разделе выражения для функций  $\psi_{\lambda\nu}^{(e)}(\eta, \beta)$  и  $\bar{\psi}^{(e)}(\eta, \beta)$ , найдем

$$\Psi_{1\nu}^{(1)}(\beta) = \Psi_{1\nu}^{(2)}(\beta) = A_\nu \operatorname{ch} \nu \sin \nu \beta, \quad (66)$$

$$\Psi_{2\nu}^{(1)}(\beta) = -\Psi_{2\nu}^{(2)}(\beta) = B_\nu \operatorname{sh} \nu \cos \nu \beta, \quad (67)$$

$$\Psi_{3\nu}^{(1)}(\beta) = \Psi_{3\nu}^{(2)}(\beta) = A_\nu (\operatorname{ch} \nu \cos \nu \beta - 1), \quad (68)$$

$$\Psi_{4\nu}^{(1)}(\beta) = -\Psi_{4\nu}^{(2)}(\beta) = B_\nu \operatorname{sh} \nu \sin \nu \beta; \quad (69)$$

$$\Phi_{1\nu}^{(1)}(\beta) = \Phi_{1\nu}^{(2)}(\beta) = -\frac{\nu A_\nu}{H(1, \beta)} \operatorname{sh} \nu \sin \nu \beta, \quad (70)$$

$$\Phi_{2\nu}^{(1)}(\beta) = -\Phi_{2\nu}^{(2)}(\beta) = -\frac{\nu B_\nu}{H(1, \beta)} \operatorname{ch} \nu \cos \nu \beta, \quad (71)$$

$$\Phi_{3\nu}^{(1)}(\beta) = \Phi_{3\nu}^{(2)}(\beta) = -\frac{\nu A_\nu}{H(1, \beta)} \operatorname{sh} \nu \cos \nu \beta, \quad (72)$$

$$\Phi_{4\nu}^{(1)}(\beta) = -\Phi_{4\nu}^{(2)}(\beta) = -\frac{\nu B_\nu}{H(1, \beta)} \operatorname{ch} \nu \sin \nu \beta. \quad (73)$$

Зарядовые функции равны

$$\bar{\Psi} = 2 \bar{A} \left[ \ln \frac{R}{2a} + I \right], \quad (74)$$

$$\bar{\Phi}(\beta) = -\frac{\bar{A}}{H(1, \beta)} \frac{\pi}{\operatorname{ch} \frac{\pi \beta}{2}} \quad (75)$$

с коэффициентом  $\bar{A}$  из формулы (52) и величиной  $J$  из (53). При выводе выражения (75) использовано равенство

$$\int_0^\infty \frac{\cos bx}{\operatorname{ch} ax} dx = \frac{\pi}{2a \operatorname{ch} \frac{\pi b}{2a}}. \quad (76)$$

Найденная система поверхностных функций (66)–(75) ортонормирована по соотношениям

$$\sum_{\sigma=1}^2 \int_{-\infty}^{+\infty} \Psi_{\lambda\nu}^{(\sigma)}(\beta) \Phi_{\lambda'\nu'}^{(\sigma)}(\beta) H(1, \beta) d\beta = -\frac{\varepsilon_{\lambda\nu}}{1 + \varepsilon_{\lambda\nu}} \delta_{\lambda\lambda'} \delta(\nu - \nu'), \quad (77)$$

$$\sum_{\sigma=1}^2 \int_{-\infty}^{+\infty} \bar{\Psi}^{(\sigma)}(\beta) \Phi_{\lambda\nu}^{(\sigma)}(\beta) H(1, \beta) d\beta = 0, \quad (78)$$

$$\sum_{\sigma=1}^2 \int_{-\infty}^{+\infty} \Psi_{\lambda\nu}^{(\sigma)}(\beta) \bar{\Phi}^{(\sigma)}(\beta) H(1, \beta) d\beta = 0, \quad (79)$$

$$\sum_{\sigma=1}^2 \int_{-\infty}^{+\infty} \bar{\Psi}^{(\sigma)}(\beta) \bar{\Phi}^{(\sigma)}(\beta) H(1, \beta) d\beta = -1. \quad (80)$$

Из равенств (77) и (80) определялись нормировочные коэффициенты  $A_\nu$ ,  $B_\nu$  и  $\bar{A}$ , приведенные в предыдущем разделе.

Соотношение полноты в данном случае принимает вид

$$\sum_{\lambda=1}^4 \int_0^\infty \frac{1 + \varepsilon_{\lambda\nu}}{\varepsilon_{\lambda\nu}} \Psi_{\lambda\nu}^{(\sigma)}(\beta) \Phi_{\lambda\nu}^{(\sigma')}(\beta') d\nu + \\ + \bar{\Psi}^{(\sigma)}(\beta) \bar{\Phi}^{(\sigma')}(\beta') = -\delta_{\sigma\sigma'} \frac{\delta(\beta - \beta')}{H(1, \beta)}. \quad (81)$$

Нетрудно убедиться, что подстановка выражений (66)–(75) обращает это равенство в тождество.

## 6. ПОТЕНЦИАЛ

1. Искомый потенциал  $\varphi(\mathbf{r})$  рассматриваемой задачи находим подстановкой общего выражения для функций Грина  $G(\rho, \mathbf{r})$ , имеющей в данном случае вид

$$G(\rho, \mathbf{r}) = -\sum_{\lambda=1}^4 \int_0^\infty d\nu \frac{1 + \varepsilon_{\lambda\nu}}{h + \varepsilon_{\lambda\nu}} \Psi_{\lambda\nu}(\rho) \psi_{\lambda\nu}(\mathbf{r}) - \\ - \bar{\Psi}(\rho) \bar{\psi}(\mathbf{r}), \quad (82)$$

в формулу (6). В результате получаем

$$\varphi(\mathbf{r}) = -2 \frac{I}{\sigma_1} \int_0^\infty d\nu \frac{1 + \varepsilon_{2\nu}}{h + \varepsilon_{2\nu}} \Psi_{2\nu}(\rho_1) \psi_{2\nu}(\mathbf{r}). \quad (83)$$

Здесь вектор  $\mathbf{r}$  — любой, а вектор  $\rho_1$  равен  $(2R, 0)$  в декартовых координатах и  $(1, 0)$  в вырожденных биполярных.

Для потенциалов вне включений ( $|\eta| \leq 1$ ) и внутри правого круга ( $\eta \geq 1$ ) имеем соответственно

$$\varphi^{(e)}(\mathbf{r}) = -\frac{I}{\pi \sigma_1} \int_0^\infty \frac{d\nu}{\nu} \frac{1}{h + \operatorname{cth} \nu} \frac{\operatorname{sh} \nu \eta}{\operatorname{sh} \nu} \cos \nu \beta, \quad (84)$$

$$\varphi^{(1)}(\mathbf{r}) = -\frac{I}{\pi \sigma_1} \int_0^\infty \frac{d\nu}{\nu} \frac{e^{-\nu(\eta-1)}}{h + \operatorname{cth} \nu} \cos \nu \beta. \quad (85)$$

Как следует из формул (84), (85), потенциал непрерывен на границе ( $\eta = +1$ ) правого круга. Кроме того, выполняется граничное условие

$$\left. \frac{\partial \varphi^{(e)}}{\partial \eta} \right|_{\eta=+1} - h \left. \frac{\partial \varphi^{(1)}}{\partial \eta} \right|_{\eta=+1} = -\frac{I}{\sigma_1} \delta(\beta), \quad (86)$$

следующее из уравнения (4).

2. Используя формулу (84), для плотности тока на оси  $y$  (при  $\eta = 0$ ) имеем

$$j(0, y) = -\sigma_1 \left[ \frac{1}{H(\eta, \beta)} \frac{\partial \varphi^{(1)}}{\partial \eta} \right]_{\eta=0}. \quad (87)$$

С учетом  $H(0, \beta) = 2R/\beta^2$  из (87) получим выражение

$$j(0, y) = \frac{I}{2\pi R} \beta^2 \int_0^\infty d\nu \frac{\operatorname{cth} \nu}{h + \operatorname{cth} \nu} \cos \nu \beta. \quad (88)$$

При  $h \gg 1$  в интеграле из (88) существенны  $\nu \ll 1$ :

$$j(0, y) = \frac{I}{2\pi R} \beta^2 \int_0^\infty d\nu \frac{\cos \nu \beta}{1 + h\nu}. \quad (89)$$

Представим это выражение в следующем виде:

$$j(0, y) = \langle j \rangle \frac{h}{\pi} g(\gamma), \quad \langle j \rangle = \frac{I}{2R}, \quad (90)$$

где

$$g(\gamma) = \gamma^2 \int_0^\infty \frac{\cos \gamma t}{1 + t} dt, \quad \gamma = \frac{2R}{hy}. \quad (91)$$

Здесь  $\langle j \rangle$  — средняя плотность тока и учтено, что при  $\eta = 0$  величина  $\beta = -2R/y$ .

Для упрощения анализа выражения (91) преобразуем величину  $g(\gamma)$  следующим образом. Введем функцию

$$F(\gamma) = \gamma^2 \int_0^\infty \frac{\cos \gamma t}{1 + t} e^{-x(1+t)} dt, \quad (92)$$

так что

$$F(0) = g(\gamma), \quad F(\infty) = 0. \quad (93)$$

Для производной  $F'(x)$  соответствующий интеграл может быть вычислен в явном виде:

$$F'(x) = -\gamma^2 e^{-x} \frac{x}{x^2 + \gamma^2}, \quad (94)$$

откуда с учетом определений (93) находим

$$g(\gamma) = \gamma^2 \int_0^\infty e^{-x} \frac{x dx}{x^2 + \gamma^2}. \quad (95)$$

Отсюда при больших значениях параметра  $\gamma$  получаем

$$\gamma \gg 1 : \quad g(\gamma) \approx 1 - \frac{6}{x^2} + \dots \quad (96)$$

При малых значениях  $\gamma$  проведем в выражении (95) интегрирование по частям. В результате получим

$$g(\gamma) = \gamma^2 \left\{ \ln \frac{1}{\gamma} + \frac{1}{2} \int_0^\infty e^{-x} \ln(x^2 + \gamma^2) dx \right\}, \quad (97)$$

откуда следует

$$\gamma \ll 1 : \quad g(\gamma) \simeq \ln \frac{1}{\gamma} - C, \quad (98)$$

где

$$C = - \int_0^\infty e^{-x} \ln x dx = 0.577 \dots \quad (99)$$

— постоянная Эйлера.

Согласно (96)–(98) при рассматриваемых значениях  $h \gg 1$  плотность тока имеет острый пик высотой  $j(0, 0) = \langle j \rangle \dot{h}/\pi \gg \langle j \rangle$  (в точке контакта включений) шириной приблизительно  $R/h \ll R$ .

Этот результат подтверждает справедливость обсуждавшейся в разд. 2 картины протекания тока в модели с фазовым переходом типа металл–идеальный проводник. При этом в пределе  $h \rightarrow \infty$  плотность тока  $j \approx h \rightarrow \infty$  при  $y = 0$  и  $j = 0$  при  $y \neq 0$ . Следовательно, величина  $j$  в этом пределе принимает дельта-функционный вид:  $j(0, y) = \text{const} \cdot \delta(y)$ . Определяя обычным образом эту константу, получим, что

$$j(0, y) = I \delta(y) \quad (100)$$

в пределе  $h \rightarrow \infty$ . Последний результат означает, что использованное в работе бинарное приближение в пределе  $h \rightarrow \infty$  становится точным.

## 7. ЭФФЕКТИВНАЯ ПРОВОДИМОСТЬ

Так как эффективная проводимость  $\sigma_e$  модели в целом совпадает с проводимостью отдельной ячейки, то

$$\sigma_e = \frac{I}{U}. \quad (101)$$

Здесь  $I$  — полный ток, текущий через ячейку,  $U$  — приложенная к ней разность потенциалов и учтено, что  $a \approx R$ . В соответствии с рис. 2 величина  $U$  выражается через потенциал  $\varphi(\mathbf{r})$  следующим образом:

$$U = \varphi^{(2)}(\mathbf{r}_2) - \varphi^{(1)}(\mathbf{r}_1) = -2\varphi^{(1)}(\mathbf{r}_1) \quad (102)$$

с  $\varphi^{(1)}(\mathbf{r})$  из формулы (85) при  $\mathbf{r} = \mathbf{r}_1 = (R, 0)$ . Точки  $x = R, y = 0$  соответствуют вырожденные биполярные координаты  $(\eta_1, 0)$ , где, как следует из определений (25),  $\eta_1 = 2$ .

Вычисляя с помощью выражения (85) для  $\varphi^{(1)}(\mathbf{r})$  разность потенциалов  $U$ , найдем величину  $\sigma_e$ , которую представим в виде

$$\frac{1}{\sigma_e} = \frac{2}{\pi\sigma_1} \int_0^\infty \frac{d\nu}{\nu} \frac{e^{-\nu}}{h + \operatorname{cth}\nu}. \quad (103)$$

Выражением (103) для  $\sigma_e$ , справедливым при  $h = \sigma_2/\sigma_1 \gg 1$ , дается эффективная проводимость исследуемой модели с фазовым переходом металл–идеальный проводник при критической концентрации — пороге протекания.

Величину  $\sigma_e$  как функцию ее аргументов запишем в виде

$$\sigma_e = \sigma_e(p; \sigma_1, \sigma_2), \quad (104)$$

где  $p$  — безразмерная концентрация (доля занимаемой площади) первой компоненты матрицы,  $\sigma_1$  и  $\sigma_2$  — проводимости матрицы и включений соответственно. Отметим, что в выражении (103) концентрация  $p$  равна критической  $p_c = 1 - \pi/4$ . Эффективная проводимость альтернативной модели с фазовым переходом типа металл–диэлектрик может быть найдена из полученных выше результатов с помощью так называемого соотношения взаимности Келлера–Дыхне [8, 9]. Как отмечено в этих работах (см. также книгу [4]), в двумерном случае имеет место соотношение, связывающее эффективные проводимости взаимных, отличающихся друг от друга заменой  $\sigma_1 \rightleftharpoons \sigma_2$ , систем:

$$\sigma_e(p; \sigma_1, \sigma_2) \sigma_e(p; \sigma_2, \sigma_1) = \sigma_1 \sigma_2. \quad (105)$$

Введя безразмерную эффективную проводимость  $f$  согласно

$$\sigma_e(p; \sigma_1, \sigma_2) = \sigma_1 f(p, h), \quad h = \frac{\sigma_2}{\sigma_1}, \quad (106)$$

приведем равенство (105) к следующему виду:

$$f(p, h) f(p, 1/h) = 1. \quad (107)$$

Из этого соотношения, используя выражение (103), после замены  $h \rightarrow 1/h$  находим безразмерную эффективную проводимость модели с фазовым переходом типа металл–диэлектрик при критической концентрации:

$$f(p_c, h) = \frac{2}{\pi} h \int_0^\infty \frac{d\nu}{\nu} \frac{\operatorname{th}\nu}{h + \operatorname{th}\nu} e^{-\nu}. \quad (108)$$

Выражение (108) справедливо при  $h \ll 1$ .

Для оценки  $f(p_c, h)$  при малых  $h$  разобьем интеграл из (108) на две части, введя величину  $\nu_0$  такую, что  $h \leq \nu_0 \leq 1$ :

$$f(p_c, h) = \frac{2}{\pi} h \left\{ \int_0^{\nu_0} \frac{d\nu}{\nu} \frac{\operatorname{th}\nu}{h + \operatorname{th}\nu} e^{-\nu} + \int_{\nu_0}^\infty \frac{d\nu}{\nu} \frac{\operatorname{th}\nu}{h + \operatorname{th}\nu} e^{-\nu} \right\}. \quad (109)$$

Для первого интеграла имеем

$$\int_0^{\nu_0} \frac{d\nu}{\nu} \frac{\operatorname{th}\nu}{h + \operatorname{th}\nu} e^{-\nu} \simeq \int_0^{\nu_0} \frac{d\nu}{h + \nu} \simeq \ln \frac{\nu_0}{h}. \quad (110)$$

Для второго интеграла получаем

$$\int_{\nu_0}^\infty \frac{d\nu}{\nu} \frac{\operatorname{th}\nu}{h + \operatorname{th}\nu} e^{-\nu} \simeq \int_{\nu_0}^\infty e^{-\nu} \frac{d\nu}{\nu}. \quad (111)$$

Отсюда, интегрируя по частям, находим

$$\begin{aligned} \int_{\nu_0}^\infty e^{-\nu} \frac{d\nu}{\nu} &= e^{-\nu} \ln \nu \Big|_{\nu_0}^\infty + \\ &+ \int_{\nu_0}^\infty e^{-\nu} \ln \nu d\nu \simeq -\ln \nu_0 - \mathbb{C}, \end{aligned} \quad (112)$$

где  $\mathbb{C}$  — постоянная Эйлера, определенная согласно (99). В результате получаем окончательно

$$f(p_c, h) = \frac{2}{\pi} h \left( \ln \frac{1}{h} - \mathbb{C} \right). \quad (113)$$

В соответствии со сказанным в предыдущем разделе, следует ожидать, что в пределе  $h \rightarrow 0$  выражение (113) является точным.

В рамках гипотезы подобия [10, 11] величина  $f(p_c, h)$  описывается степенной функцией:

$$f(p_c, h) \sim h^s, \quad (114)$$

где  $s$  — второй критический индекс проводимости. В выражении (114) пренебрегается возможной логарифмической зависимостью. Поэтому следует считать, что в (113)  $s = 1$ . Отметим, что численные исследования проводимости двумерной модели Рэлея [3] дает оценку  $s \approx 0.95$ .

**Благодарности.** Автор выражает благодарность Д. А. Головневой и Н. А. Хлопотуновой за помощь в подготовке рукописи статьи к печати.

## ПРИЛОЖЕНИЕ

Знание системы собственных функций для некоторого макроскопического тела дает возможность определить его дипольную поляризуюемость.

В случае тела, помещенного в однородное электрическое поле напряженности  $\mathbf{E}_0$ , соответствующий потенциал  $\varphi(\mathbf{r})$  имеет следующую асимптотику (двумерный случай):

$$r \rightarrow \infty : \quad \varphi(\mathbf{r}) \approx -(\mathbf{E}_0 \cdot \mathbf{r}) + 2 \frac{(\mathbf{p} \cdot \mathbf{r})}{r^2} + \dots \quad (\text{A.1})$$

Здесь

$$\mathbf{p} = \hat{\Lambda} \mathbf{E}_0 \quad (\text{A.2})$$

— дипольный момент тела,  $\hat{\Lambda}$  — его тензор дипольной поляризации. Для составляющих этого тензора согласно [6, 7] имеем

$$\Lambda_{\alpha\beta} = -4\pi(1-\varepsilon) \sum_{\nu} \frac{d_{\nu\alpha} d_{\nu\beta}}{\varepsilon + \varepsilon_{\nu}}, \quad (\text{A.3})$$

где  $\mathbf{d}_{\nu}$  — аналог дипольного момента в асимптотике поляризационной собственной функции:

$$r \rightarrow \infty : \quad \psi_{\nu}(\mathbf{r}) \approx 2 \frac{(\mathbf{r} \cdot \mathbf{d}_{\nu})}{r^2} + \dots \quad (\text{A.4})$$

В формуле (A.3)  $\varepsilon$  — диэлектрическая проницаемость тела. В случае непрерывного спектра собственных значений  $\varepsilon_{\nu}$  в (A.3) вместо суммы должен стоять интеграл.

Для пары соприкасающихся кругов дипольным поведением при  $r \rightarrow \infty$  обладают функции  $\psi_{2\nu}^{(e)}(\mathbf{r})$  и  $\psi_{1\nu}^{(e)}(\mathbf{r})$ . Для соответствующих дипольных моментов имеем

$$\mathbf{d}_{2\nu} = \nu B_{\nu} R \mathbf{i}_x, \quad \mathbf{d}_{1\nu} = \nu A_{\nu} R \mathbf{i}_y. \quad (\text{A.5})$$

Для составляющих тензора дипольной поляризации  $\hat{\Lambda}$  получаем

$$\Lambda_{xx} = -2R^2 \int_0^{\infty} \frac{1-\varepsilon}{\varepsilon + \operatorname{cth} \nu} \frac{e^{-\nu}}{\operatorname{sh} \nu} \nu d\nu, \quad (\text{A.6})$$

$$\Lambda_{yy} = -2R^2 \int_0^{\infty} \frac{1-\varepsilon}{\varepsilon + \operatorname{th} \nu} \frac{e^{-\nu}}{\operatorname{ch} \nu} \nu d\nu. \quad (\text{A.7})$$

Отметим, что выражения (A.6), (A.7) удовлетворяют равенствам

$$\Lambda_{xx}(\varepsilon) = -\Lambda_{yy}(1/\varepsilon), \quad \Lambda_{yy}(\varepsilon) = -\Lambda_{xx}(1/\varepsilon), \quad (\text{A.8})$$

являющихся следствием соотношения взаимности (см. [4]).

В двух частных случаях, используя формулы

$$\int_0^{\infty} \frac{x dx}{e^x - 1} = \frac{\pi^2}{6}, \quad \int_0^{\infty} \frac{x dx}{e^x + 1} = \frac{\pi^2}{12}, \quad (\text{A.9})$$

получим

$$\Lambda_{xx} = -\frac{\pi^2 R^2}{12}, \quad \Lambda_{yy} = -\frac{\pi^2 R^2}{6} \quad (\text{A.10})$$

при  $\varepsilon = 0$  и

$$\Lambda_{xx} = \frac{\pi^2 R^2}{6}, \quad \Lambda_{yy} = \frac{\pi^2 R^2}{12} \quad (\text{A.11})$$

при  $\varepsilon = \infty$ .

## ЛИТЕРАТУРА

1. Lord Rayleigh, Phil. Mag. S. **34**, № 211, 481 (1892).
2. W. T. Perrins, D. B. McKenzie, and B. C. McPhedran, Proc. Roy. Soc. Lond. A **369**, 207 (1979).
3. Б. Я. Балагуров, В. А. Кашин, ЖЭТФ **117**, 978 (2000).
4. Б. Я. Балагуров, *Электрофизические свойства композитов. Макроскопическая теория*, URSS, Москва (2015).
5. Б. Я. Балагуров, ЖЭТФ **157**, 669 (2020).
6. Б. Я. Балагуров, ЖЭТФ **94**, 95 (1988).
7. Б. Я. Балагуров, *Метод собственных функций в макроскопической электростатике*, URSS, Москва (2016).
8. J. B. Keller, J. Math. Phys. **5**, 548 (1964).
9. А. М. Дыхне, ЖЭТФ **59**, 110 (1970).
10. A. L. Efros and B. I. Shrakovskii, Phys. Stat. Sol. (b) **76**, 475 (1976).
11. J. P. Straley, J. Phys. C **9**, 783 (1976).
12. Ф. М. Морс, Г. Фешбах, *Методы теоретической физики*, т. II, Изд-во иностр. лит., Москва (1960).